

Севастопольский государственный университет
Кафедра радиоэлектроники и телекоммуникаций

Цифровая обработка сигналов

Севастополь 2017

Лекция № 3

Дискретизация сигналов во времени

Виды дискретизации сигналов

Дискретизация — процесс определения мгновенных значений аналогового сигнала $x(t)$ в дискретные моменты времени.

Виды дискретизации различаются по регулярности отсчетов:

- **равномерная дискретизация**, когда $T_{\text{д}}$ постоянен;
- **неравномерная дискретизация**, когда $T_{\text{д}}$ переменен, причем этот вид в свою очередь делится на:
 - **адаптивную**, когда $T_{\text{д}}$ меняется автоматически в зависимости от текущего изменения сигнала;
 - **программируемую**, когда $T_{\text{д}}$ изменяется в соответствии с заранее выбранными условиями.

По виду дискретизируемых сигналов различают:

- дискретизацию **низкочастотных (видео)** сигналов;
- дискретизацию **полосовых (радио)** сигналов.

Техническая реализация дискретизации

Технически дискретизация производится с помощью электронного ключа (ЭК), который замыкается под управлением дискретизирующего сигнала $f_{\delta}(t)$ в интервалы времени $nT_{\text{д}}$, где $n = 0, 1, 2, 3, 4 \dots$

Пусть $x(t)$ — входной аналоговый сигнал.

В результате дискретизации на выходе ЭК формируются отсчеты дискретного сигнала $x(nT_{\text{д}})$.

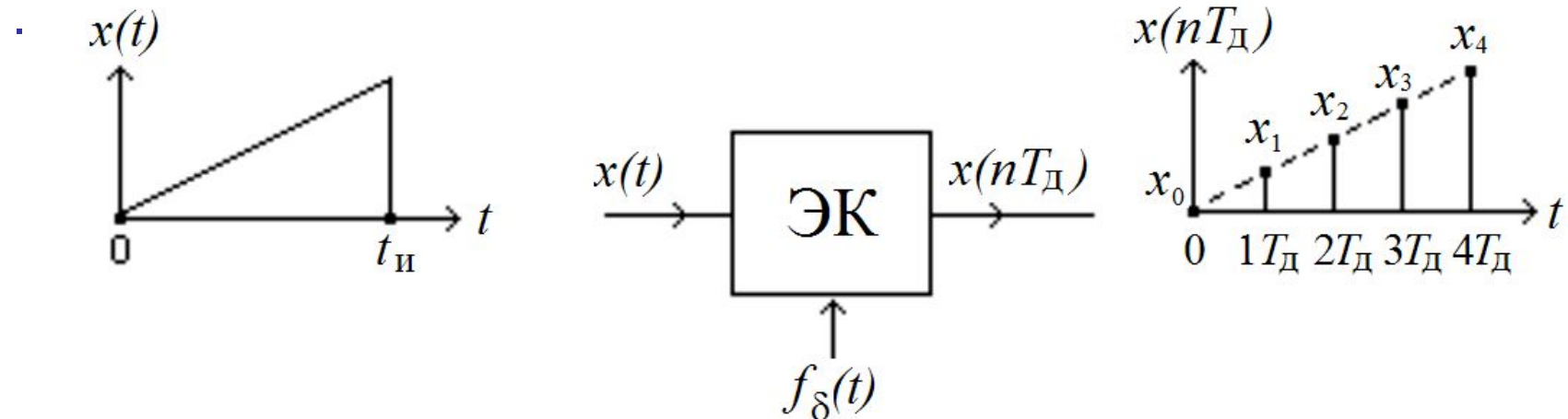


Рис. 3.1

Математическая модель дискретного сигнала

Аналитически дискретный сигнал на выходе ЭК можно представить:

- функцией дискретного времени $nT_{\text{д}}$: $x(nT_{\text{д}}) = x(t)|_{t = nT_{\text{д}}}$, $n = 0, 1, 2, \dots$, соответствующей выборкам аналогового сигнала в дискретные, периодически повторяющиеся моменты времени;
- функцией номера выборки n : $x(n) = x(nT_{\text{д}})|_{T_{\text{д}} = 1}$, в общем случае не связанной со временем;
- функцией непрерывного времени t :

$$x_{\text{д}}(t) = x(t)f_{\delta}(t) = x(t) \sum_{n=-\infty}^{\infty} \delta(t - nT_{\text{д}}) = \sum_{n=-\infty}^{\infty} x(nT_{\text{д}})\delta(t - nT_{\text{д}}), \quad (3.1)$$

получаемой умножением аналогового сигнала $x(t)$ на дискретизирующую функцию

$$f_{\delta}(t) = \sum_{n=-\infty}^{\infty} \delta(t - nT_{\text{д}}) \quad (3.2)$$

в виде периодической последовательности δ -импульсов с периодом, равным $T_{\text{д}}$:

$$\delta(t - nT_{\text{д}}) = \begin{cases} \infty, & t = nT_{\text{д}} \\ 0, & t \neq nT_{\text{д}} \end{cases}. \quad (3.3)$$

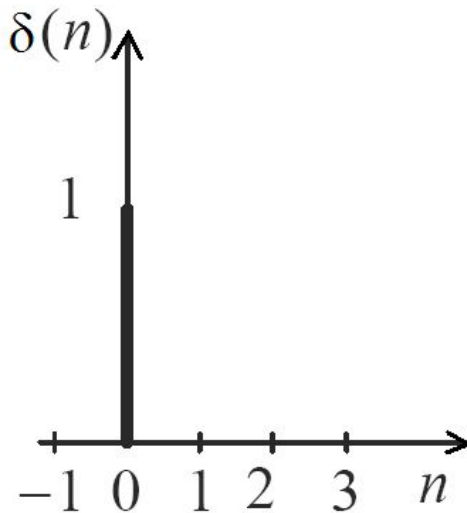
Типовые дискретные сигналы

При исследовании линейных дискретных систем ряд дискретных сигналов используют в качестве испытательных воздействий; такие сигналы называют **типовыми**. К ним относятся:

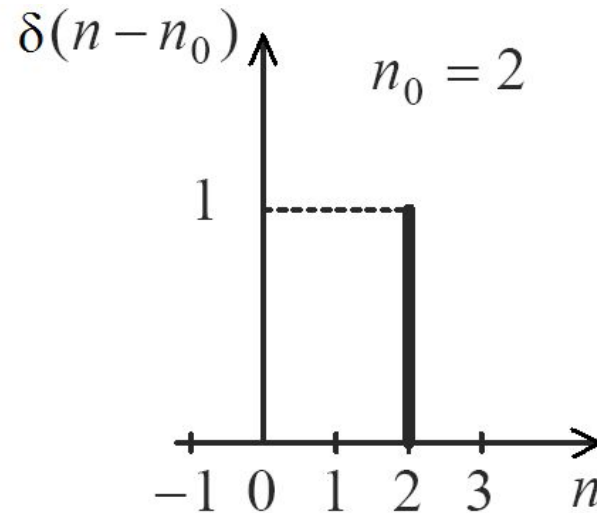
- **цифровой единичный импульс** (функция Кронекера) (рис. 3.2(a));
- **задержанный цифровой единичный импульс** (рис. 3.2(б)).

$$\delta(n) = \begin{cases} 1, & n = 0; \\ 0, & n \neq 0, \end{cases}$$

$$\delta(n - n_0) = \begin{cases} 1, & n = n_0; \\ 0, & n \neq n_0 \end{cases}$$



а)



б)

Рис. 3.2

Применение единичных импульсов

Произвольная последовательность может быть представлена как сумма взвешенных и задержанных единичных импульсов.

Например, последовательность $p(n)$, изображенную на рис. 3.3,

МОЖЕТ $p(n) = a_{-3} \delta(n+3) + a_1 \delta(n-1) + a_2 \delta(n-2) + a_7 \delta(n-7)$.

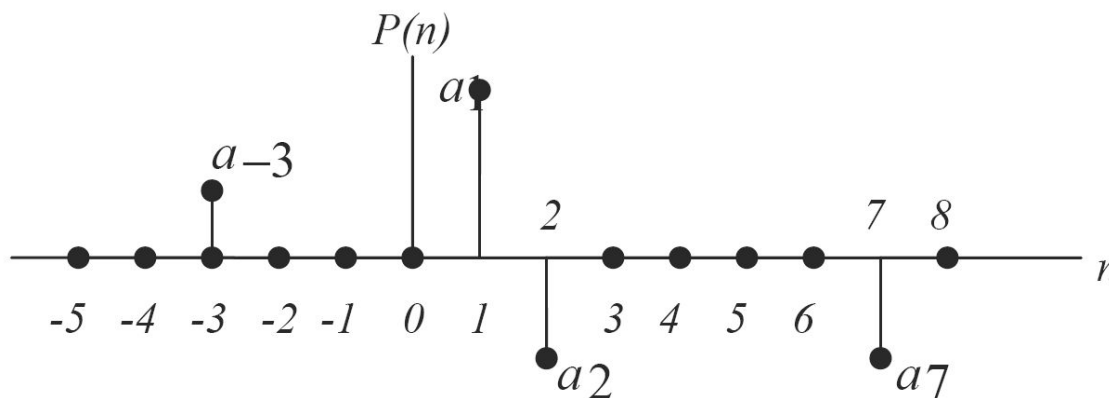


Рис.

В общем случае произвольная последовательность; имеет вид

$$x(n) = \sum_{k=-\infty}^{\infty} x(k) \cdot \delta(n-k).$$

Типовые дискретные сигналы

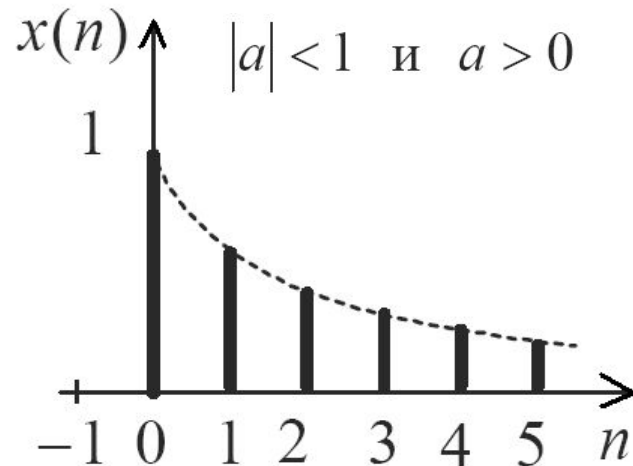
Дискретная

экспонента,

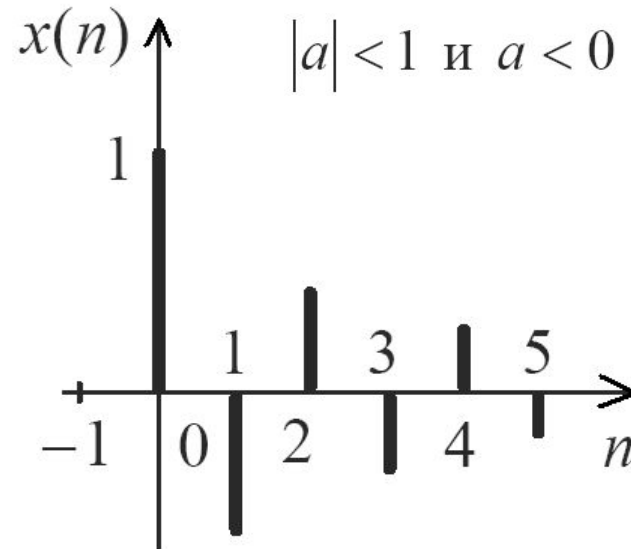
описываемая

последовательностью

$$x(n) = \begin{cases} a^n, & n \geq 0; \\ 0, & n < 0. \end{cases}$$



а)



б)

Рис. 3.4

Типовые дискретные сигналы

Дискретный гармонический сигнал например, дискретная косинусоида, описываемая последовательностью:

$$x(nT_d) = A \cos(2\pi f n T_d) = A \cos(\omega n T_d),$$

$$\omega = 2\pi$$

где T_d — период, f — частота.

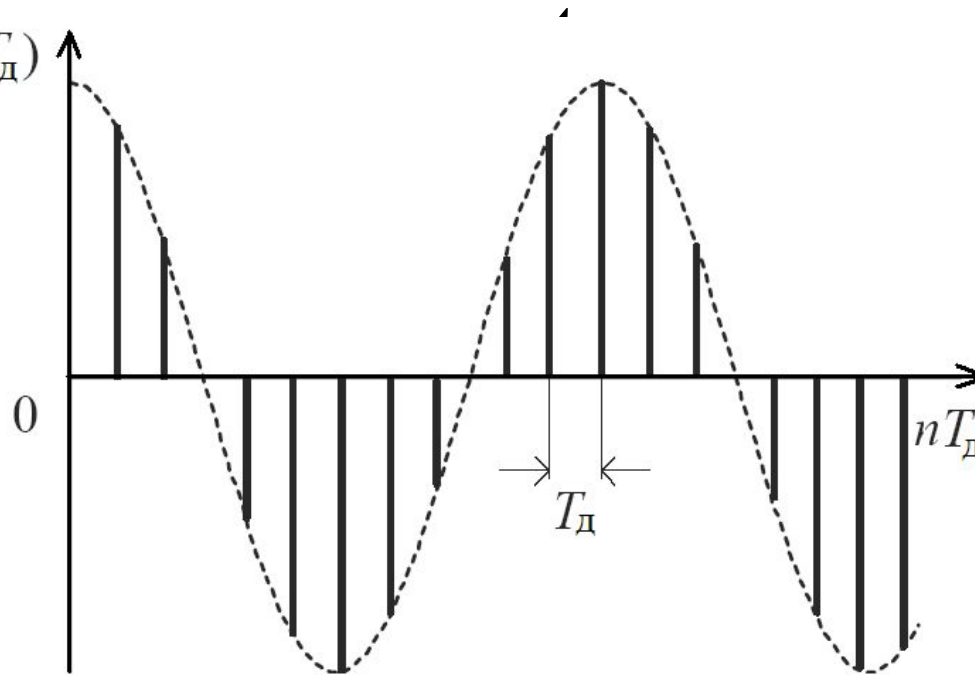


Рис. 3.5

Спектр дискретного сигнала

Представим дискретный сигнал в виде произведения исходного сигнала $x(t)$ и дискретизирующей последовательности δ -импульсов $f_\delta(t)$:

$$x_{\text{д}}(t) = x(t) f_\delta(t) \quad (3.4)$$

Спектральную плотность дискретного сигнала $X_{\text{д}}(j\omega)$ найдем, используя прямое преобразование Фурье дискретного сигнала, представленного функцией непрерывного времени (3.1):

$$X_{\text{д}}(j\omega) = \int_{-\infty}^{\infty} x_{\text{д}}(t) e^{-j\omega t} dt = \sum_{n=-\infty}^{\infty} \int_{-\infty}^{\infty} x(t) \delta(t - nT_{\text{д}}) e^{-j\omega t} dt = \sum_{n=-\infty}^{\infty} x(nT_{\text{д}}) e^{-j\omega nT_{\text{д}}} \quad (3.5)$$

(при выводе использовано фильтрующее свойство δ -функции).

В силу периодичности комплексной экспоненты

$$e^{-j\omega nT_d} = e^{-j(\omega + k\omega_d)nT_d}$$

спектр дискретного сигнала в отличие от аналогового **периодичен по частоте** с периодом ω_d :

$$X_d(j\omega) = X_d[j(\omega + k\omega_d)], k = 0, \pm 1, \pm 2, \dots \quad (3.6)$$

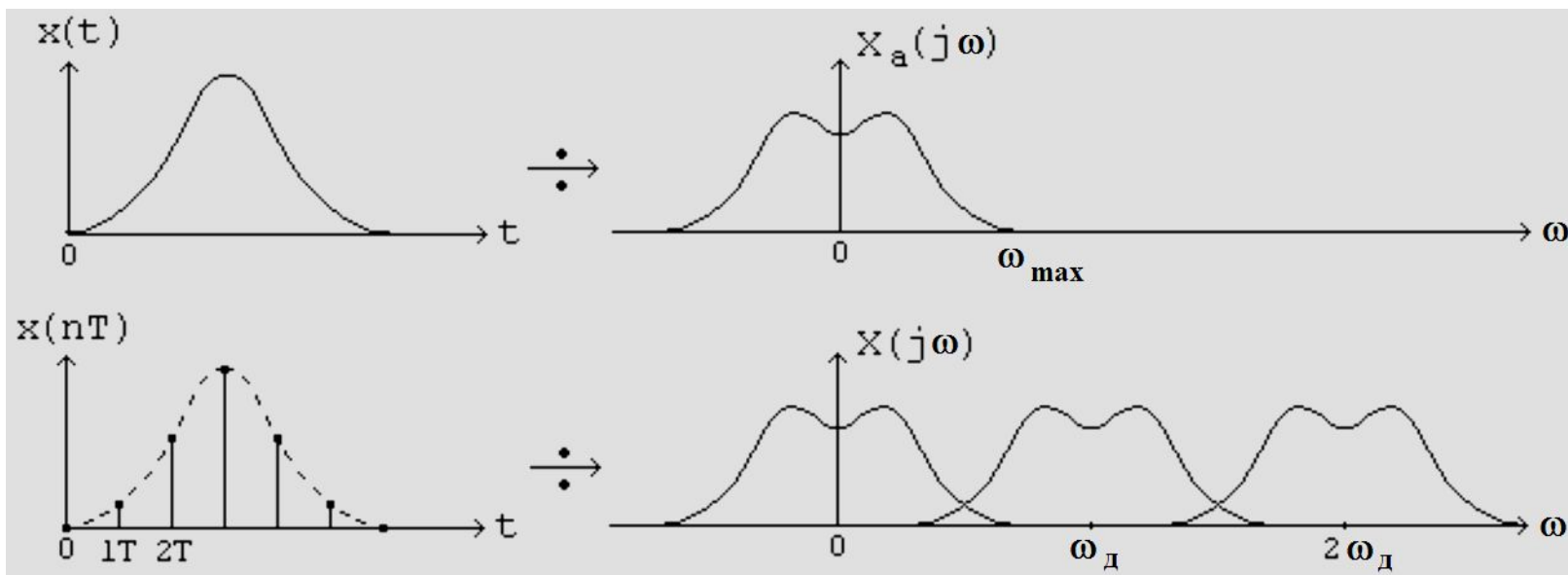


Рис.

3.6

Связь между спектрами дискретного и аналогового сигналов

Представим дискретизирующую функцию $f_\delta(t)$ рядом Фурье

$$f_\delta(t) = \sum_{k=-\infty}^{\infty} C_k e^{jk\omega_d t} ; \quad (3.7)$$

Тогда дискретный сигнал можно записать

$$x_d(t) = x(t) \sum_{k=-\infty}^{\infty} C_k e^{jk\omega_d t} . \quad (3.8)$$

Коэффициенты ряда

$$C_k = \frac{1}{T_d} \int_{nT_d - T_d/2}^{nT_d + T_d/2} \delta(t - nT_d) e^{-jk\omega_d t} dt = \frac{1}{T_d} e^{-jk\omega_d nT_d} = \frac{1}{T_d}, \quad (3.9)$$

Преобразование Фурье (3.8) при $C_k = 1/T_d$ приводит к выражению

$$X_d(j\omega) = \frac{1}{T_d} \sum_{k=-\infty}^{\infty} \int_{-\infty}^{\infty} x(t) e^{jk\omega_d t} e^{-j\omega t} dt = \frac{1}{T_d} \sum_{k=-\infty}^{\infty} X_a[j(\omega - k\omega_d)] . \quad (3.10)$$

Связь между спектрами дискретного и аналогового сигналов

- Из (3.10) следует, что **спектр дискретного сигнала с точностью до постоянного множителя равен сумме спектров аналогового сигнала $X_a(j\omega)$ смещенных по частоте на $k\omega_d$.**
- Перенос спектра $X_a(j\omega)$ на частоты $k\omega_d$ вызван умножением аналогового сигнала на множество комплексных экспонент $e^{jk\omega_d t}$, являющихся гармониками дискретизирующей функции $f_\delta(t)$.

Влияние формы дискретизирующих импульсов

При выводе (3.10) предполагалось, что длительность дискретизирующих импульсов τ является бесконечно малой величиной.

На практике такие импульсы имеют конечную длительность. Реальную дискретизирующую функцию можно записать:

$$f_{\delta}(t) = \sum_{n=-\infty}^{\infty} (\delta(t - nT_{\text{д}}) - \delta(t - nT_{\text{д}} - \tau)).$$

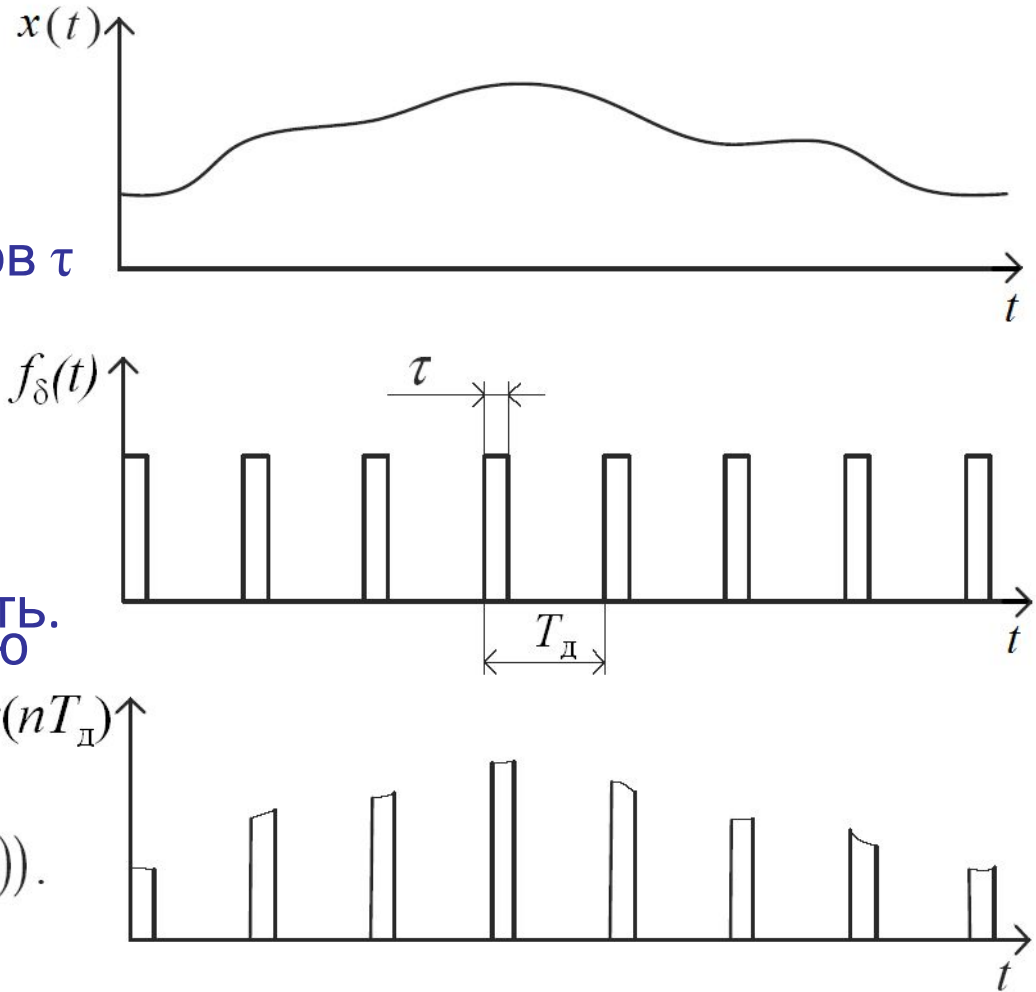


Рис. 3.7

Влияние формы дискретизирующих импульсов (продолжение)

Для нахождения спектра дискретного сигнала в этом случае поступают путём представления дискретизирующих импульсов рядом Фурье и нахождения прямого преобразования Фурье.

Полученный спектр также имеет бесконечную длительность и периодичность, но его огибающая повторяет огибающую спектральной плотности дискретизирующего прямоугольного импульса с периодом T_d и длительностью τ .

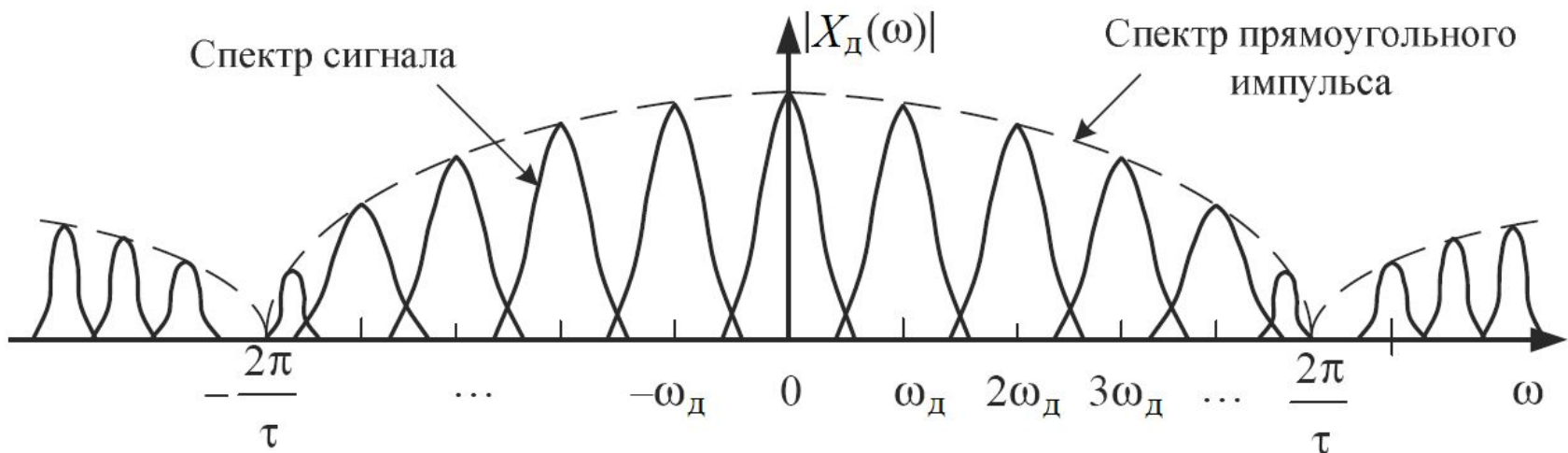
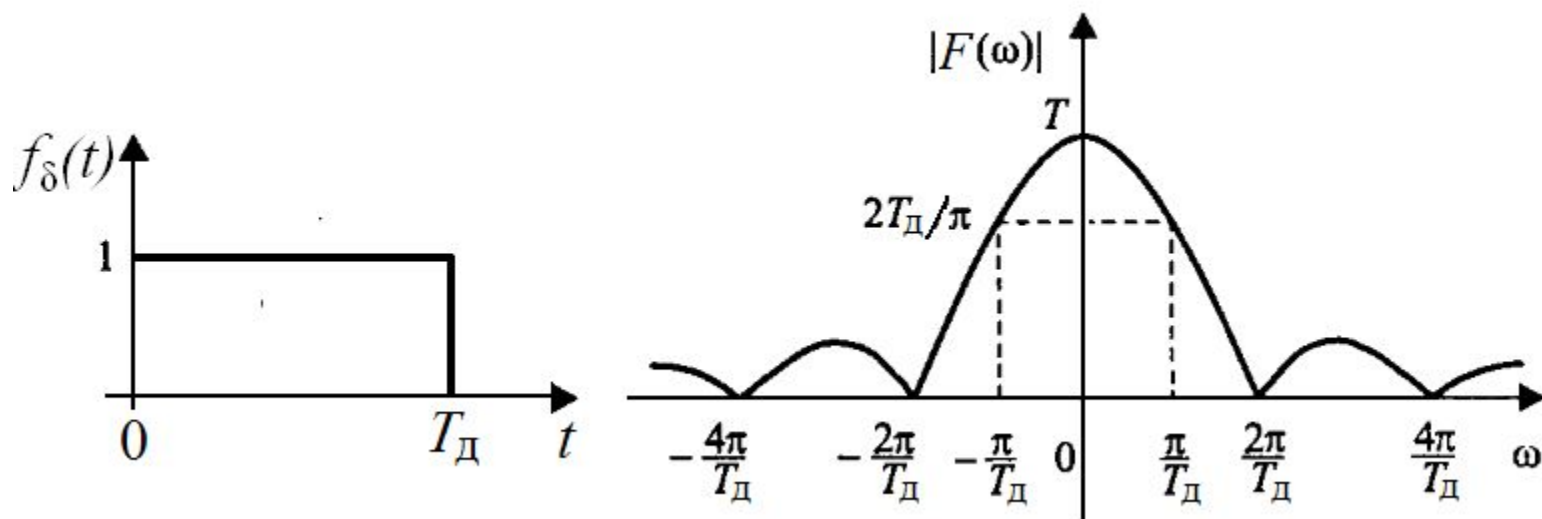


Рис. 3.8

Влияние формы дискретизирующих импульсов (продолжение)

Рассмотрим случай, когда $f_{\delta}(t)$ представляет собой прямоугольный импульс с единичной амплитудой и длительностью, равной периоду дискретизации T_{π} (рис. 3.9, а).



а)

Рис. 3.9

б)

Спектральная плотность этого сигнала имеет вид $|\sin(x)/x|$ (рис. 3.9, б).

Влияние формы дискретизирующих импульсов (продолжение)

- При такой форме дискретизирующей функции дискретный сигнал приобретает ступенчатую форму, что характерно для сигнала на выходе ЦАП перед сглаживающим фильтром.
- Из графика спектральной плотности видно, что ЦАП сам по себе является фильтром нижних частот, однако с весьма невысокой степенью подавления сдвинутых копий спектра.
- Кроме того, поскольку АЧХ такого фильтра весьма далека от прямоугольной, он обладает неравномерностью в полосе пропускания и заметно ослабляет высокочастотные составляющие сигнала (на частоте $\omega_d/2$ ослабление составляет около 4 дБ).

Спасибо за внимание!